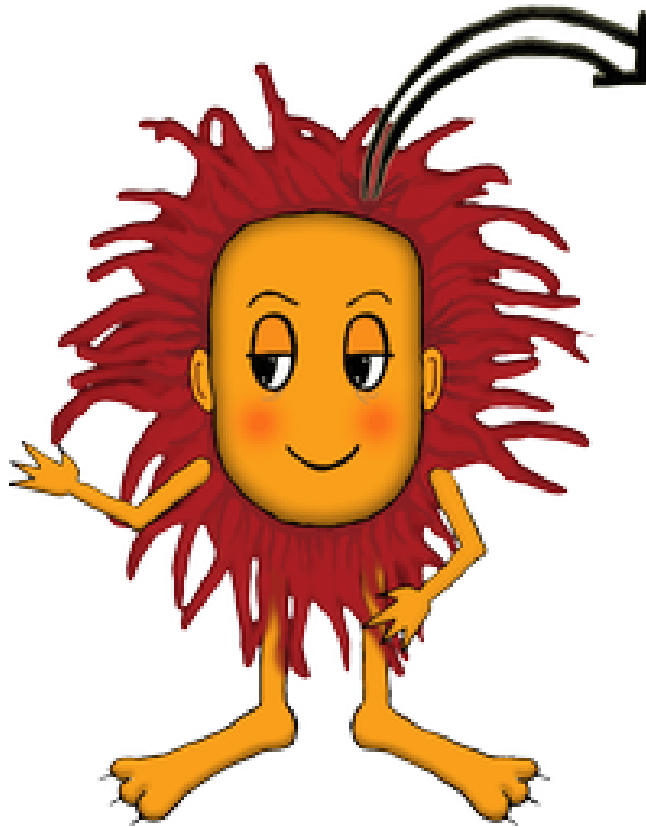


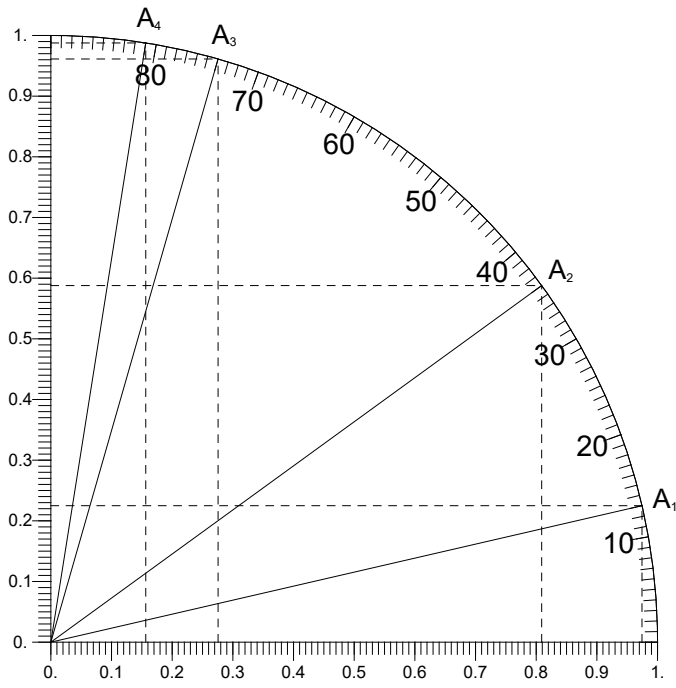
## Velika logična pošast



## Koti in projekcije

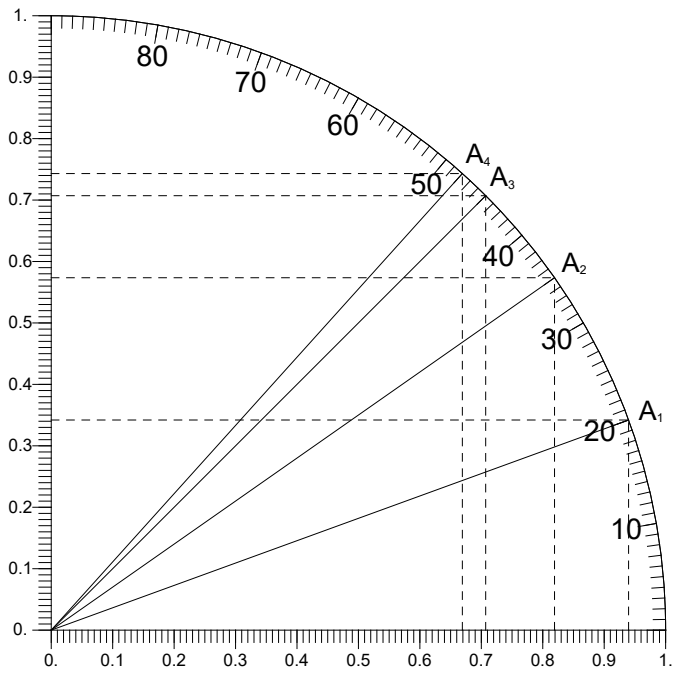
Štiri daljice izhajajo iz točke  $O$  in se končujejo v točkah  $A_i$ .  
Zapiši kote, ki jih tvorijo te daljice z vodoravnim ravnilom.  
Točke  $A_i$  pravokotno proiciramo na vodoravno in navpično ravnino.  
Tako dobimo točke  $B_i$  in  $C_i$ .  
Določi dolžine daljic  $OB_i$  in  $OC_i$  z natančnostjo na 2 decimalki.

1.



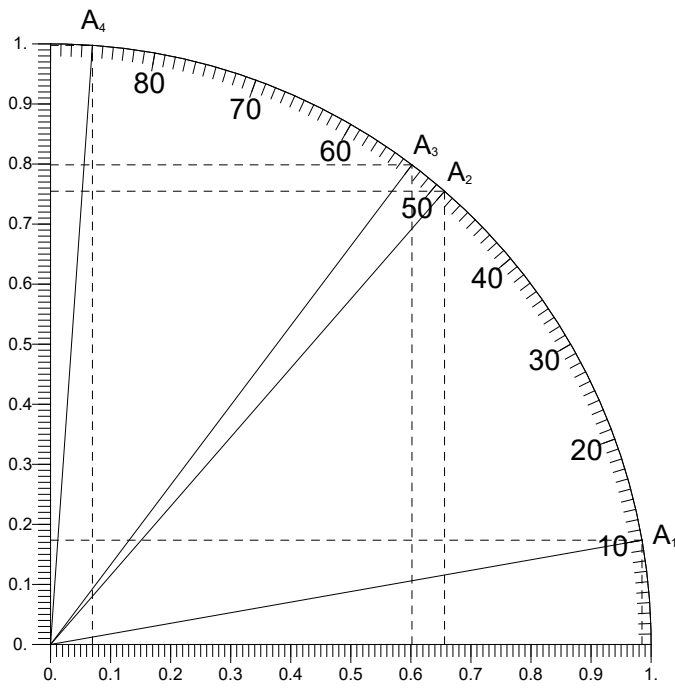
kot	$ OB_i $	$ OC_i $

2.



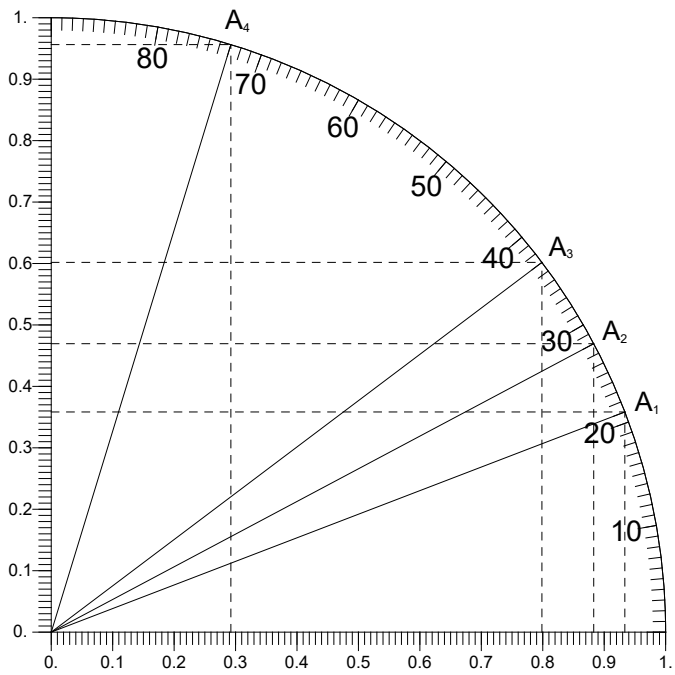
kot	$ OB_i $	$ OC_i $

3.



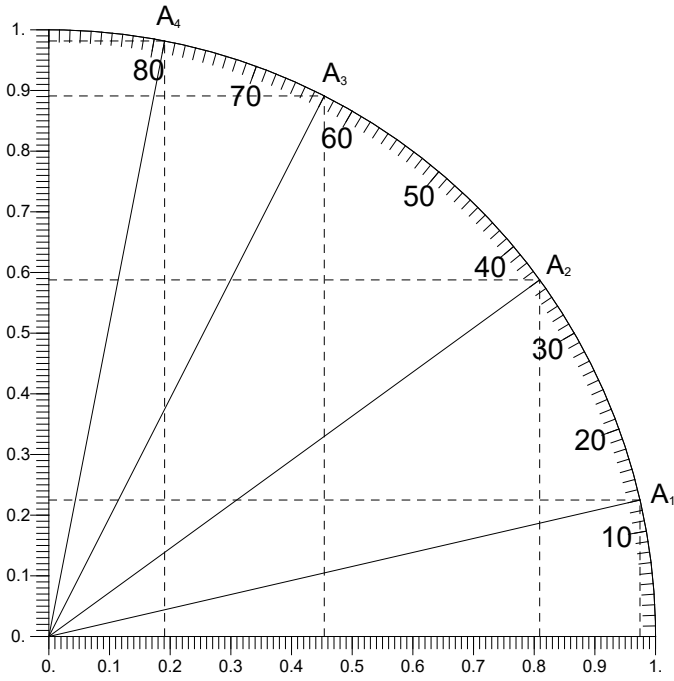
kot	$ OB_i $	$ OC_i $

4.



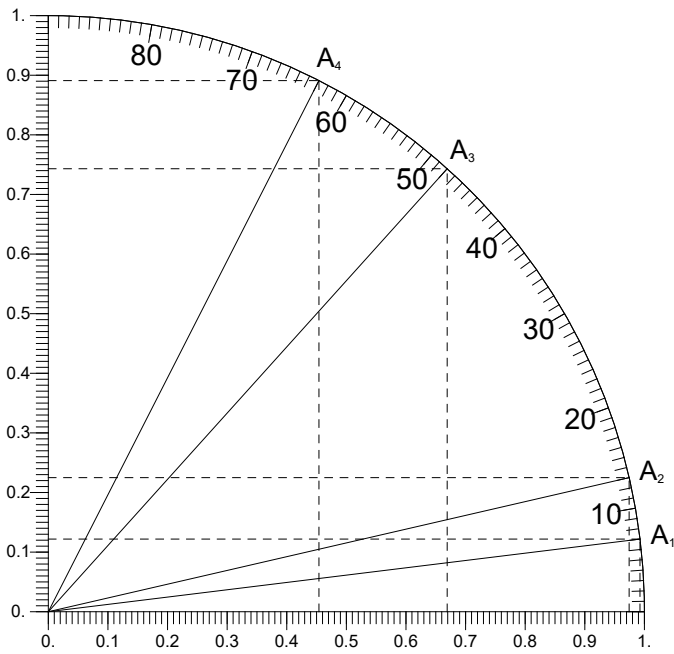
kot	$ OB_i $	$ OC_i $

5.



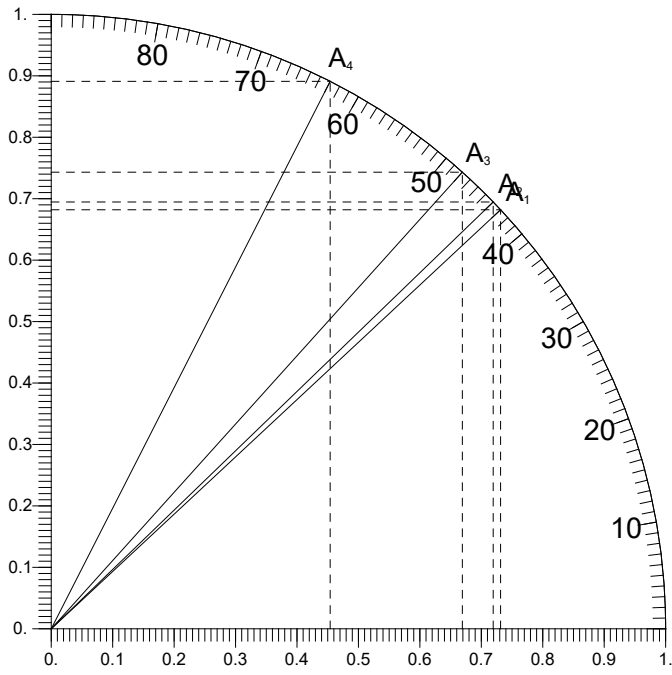
kot	$ OB_i $	$ OC_i $

6.



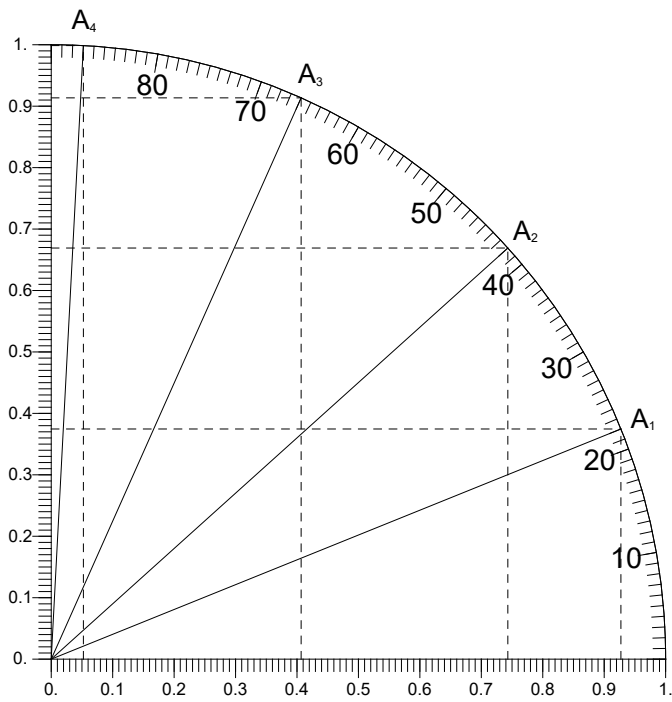
kot	$ OB_i $	$ OC_i $

7.



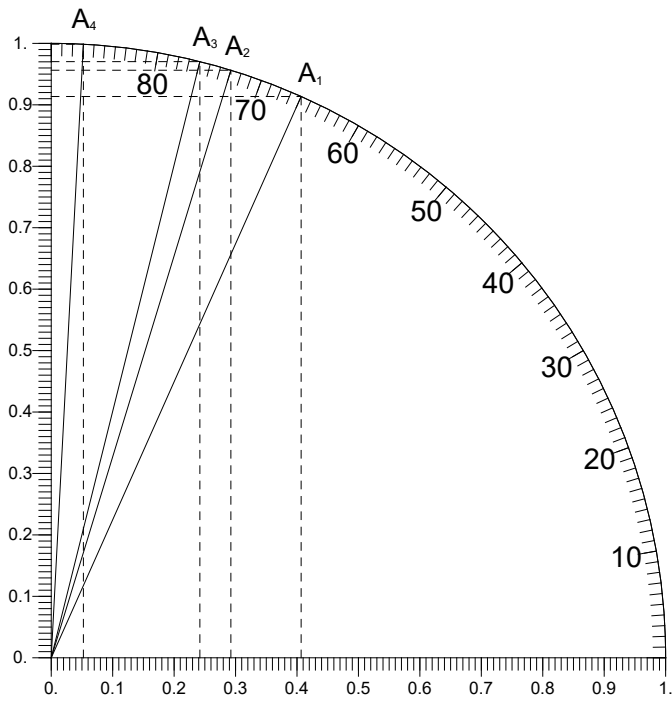
kot	$ OB_i $	$ OC_i $

8.



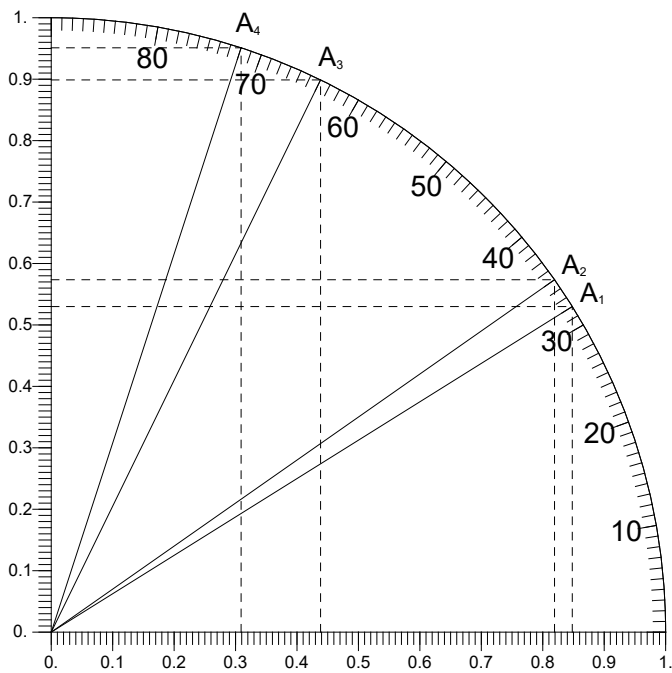
kot	$ OB_i $	$ OC_i $

9.



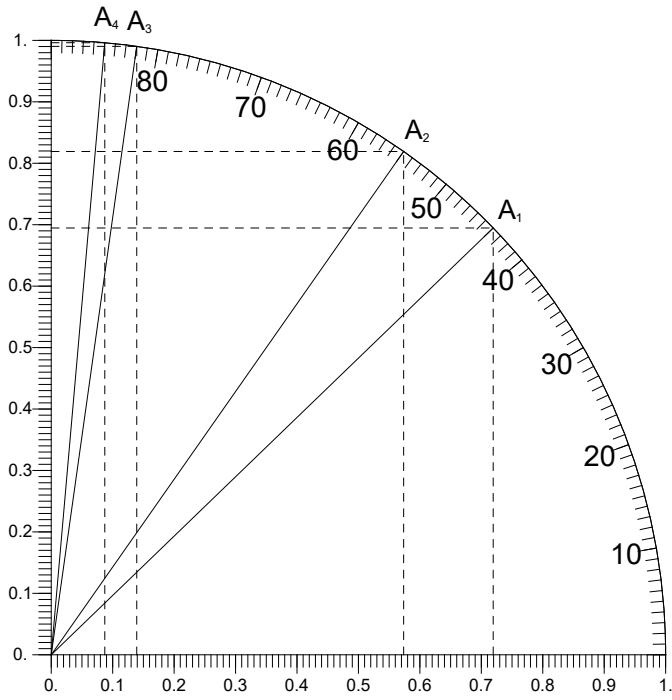
kot	$ OB_i $	$ OC_i $

10.



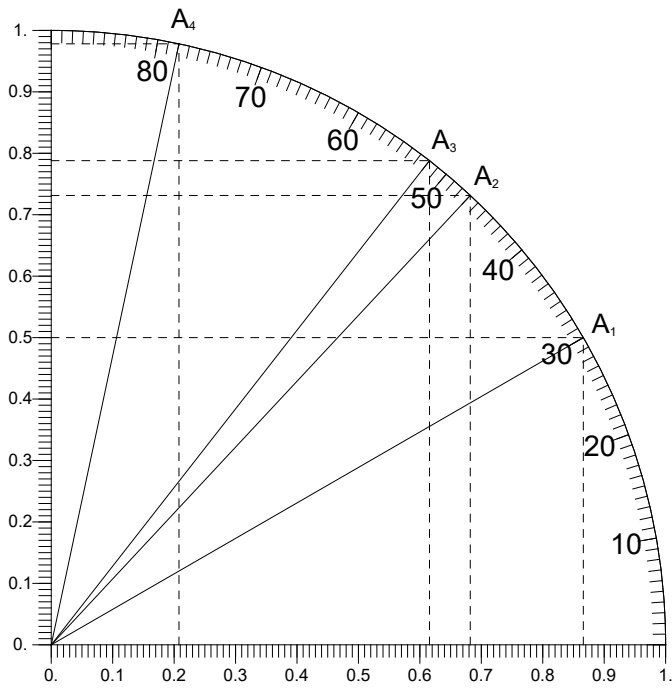
kot	$ OB_i $	$ OC_i $

11.



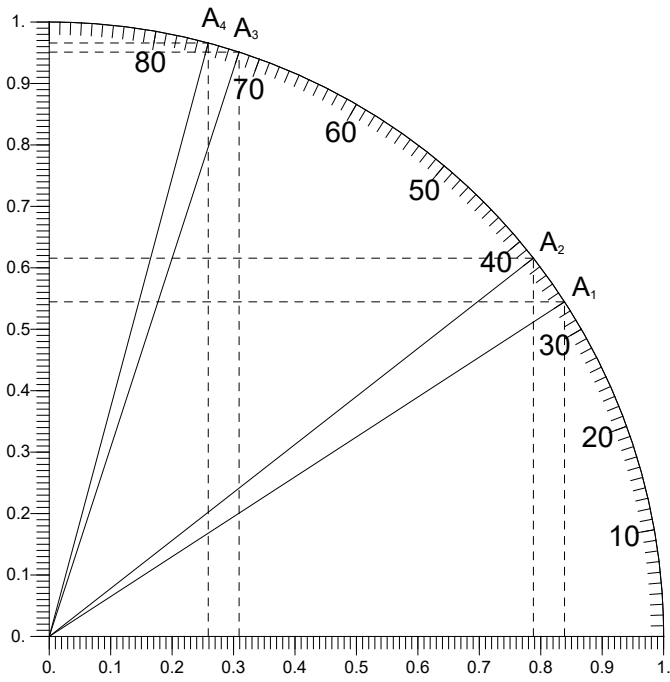
kot	$ OB_i $	$ OC_i $

12.



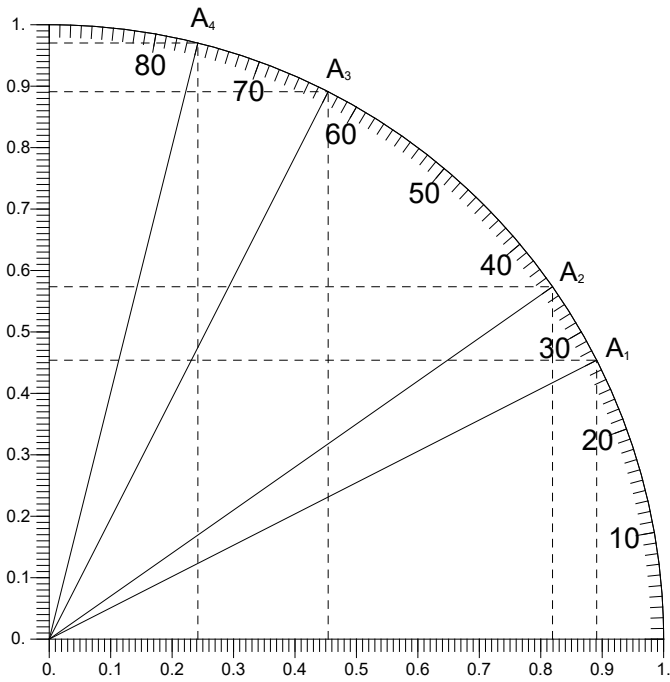
kot	$ OB_i $	$ OC_i $

13.



kot	$ OB_i $	$ OC_i $

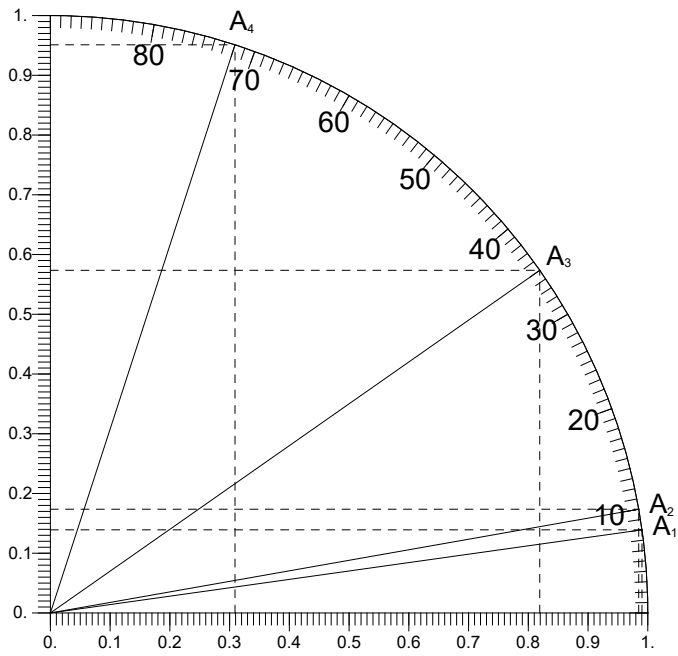
14.



kot	$ OB_i $	$ OC_i $

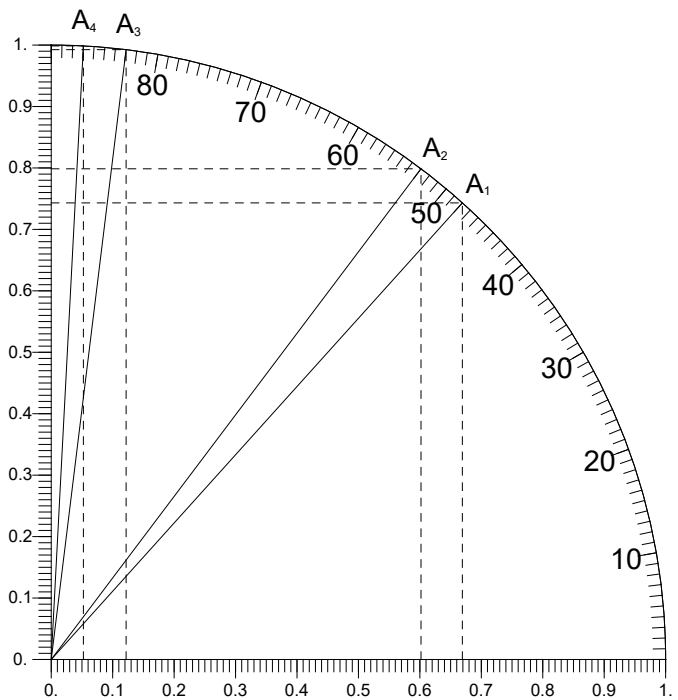


15.



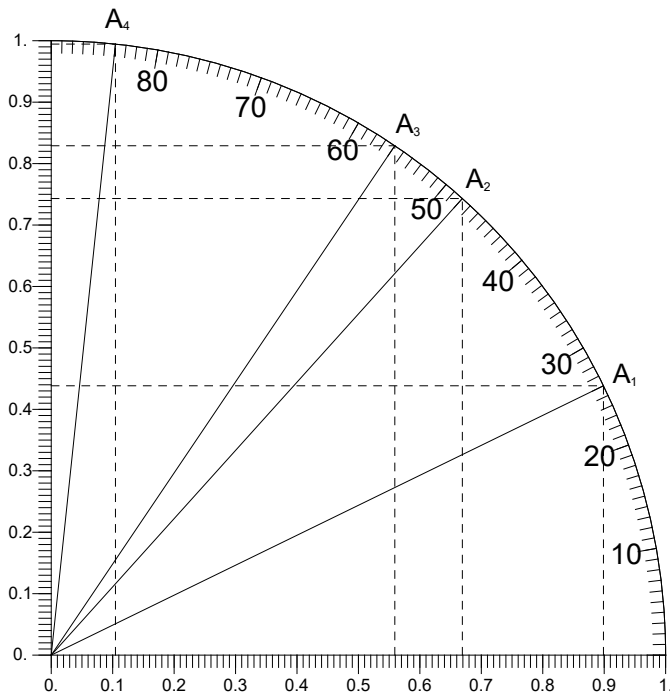
kot	$ OB_i $	$ OC_i $

16.



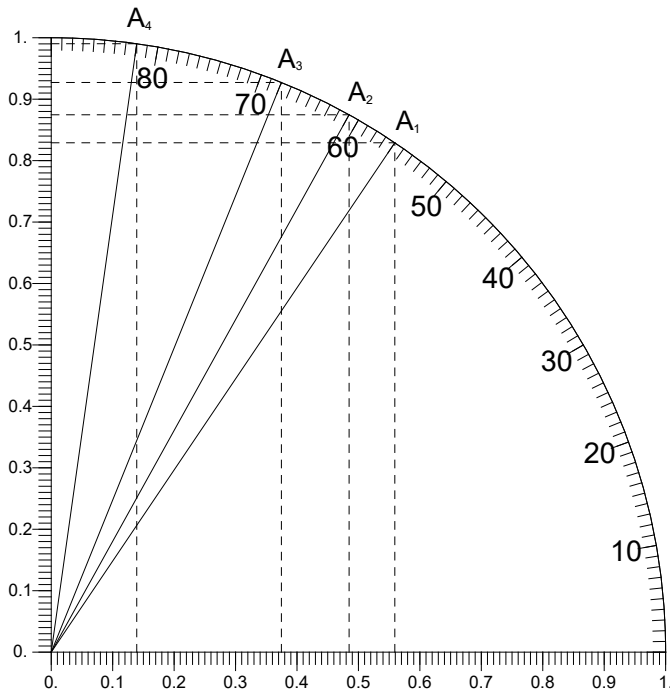
kot	$ OB_i $	$ OC_i $

17.



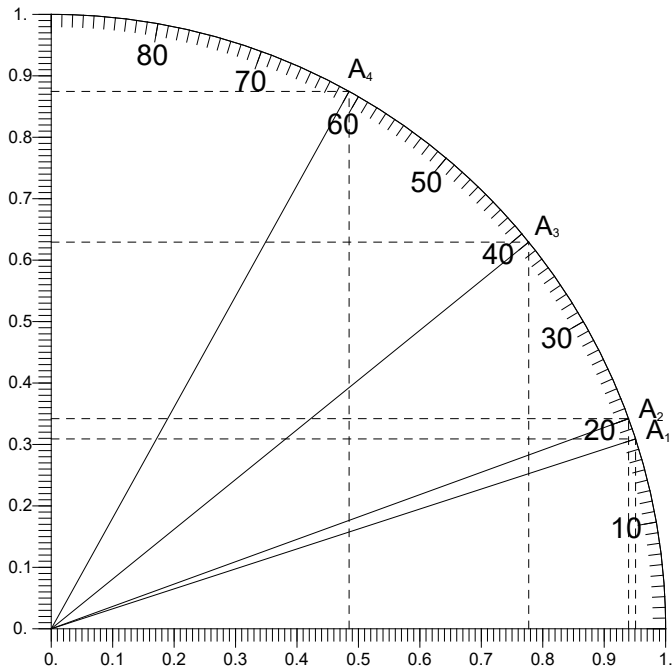
kot	$ OB_i $	$ OC_i $

18.



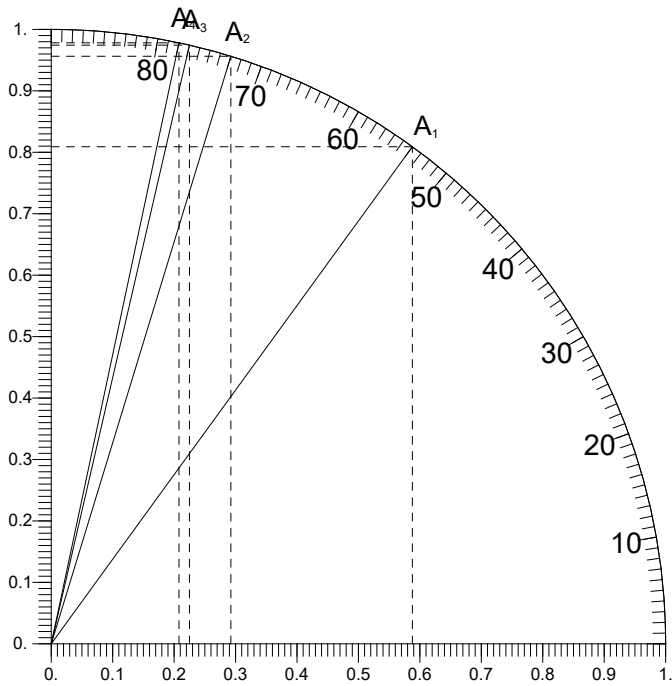
kot	$ OB_i $	$ OC_i $

19.



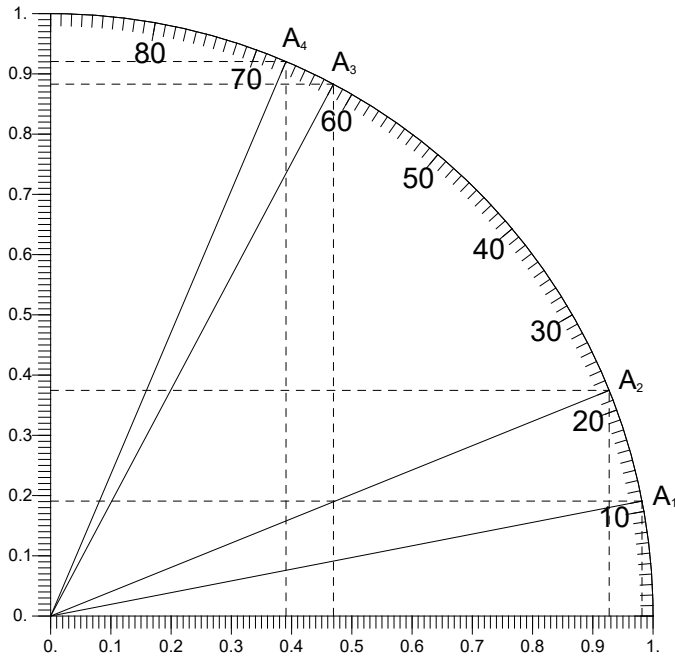
kot	$ OB_i $	$ OC_i $

20.



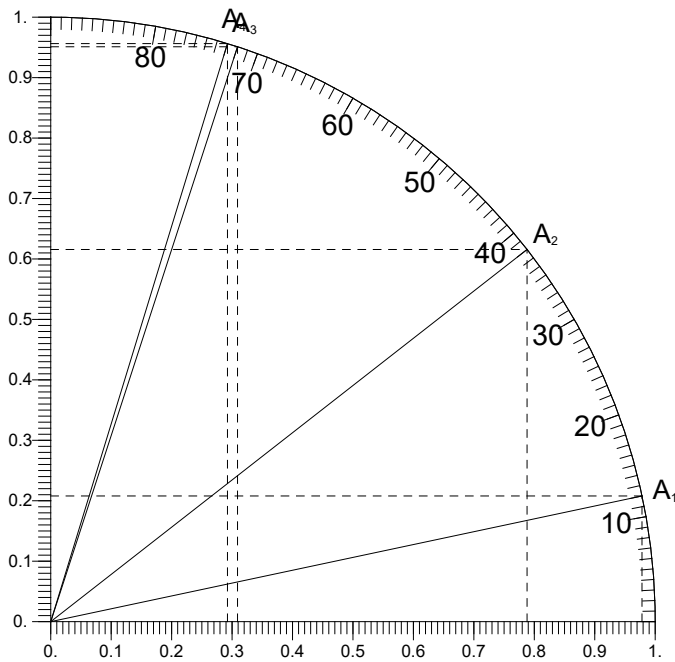
kot	$ OB_i $	$ OC_i $

21.



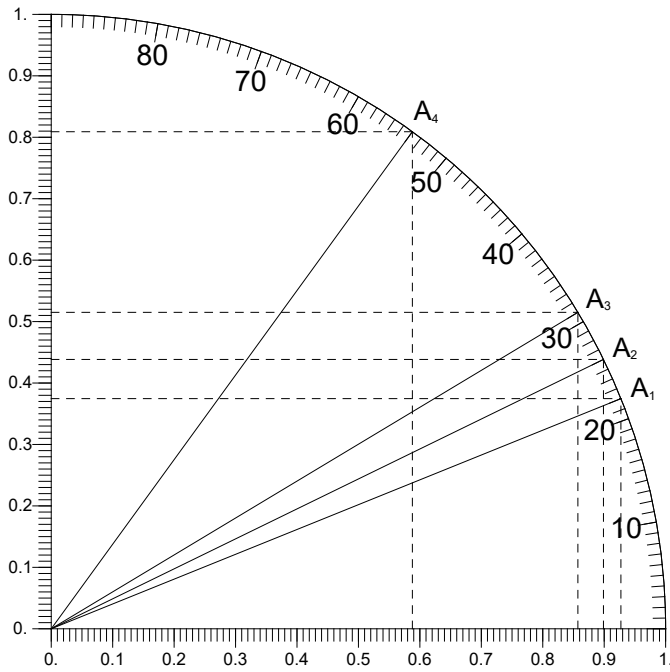
kot	$ OB_i $	$ OC_i $

22.



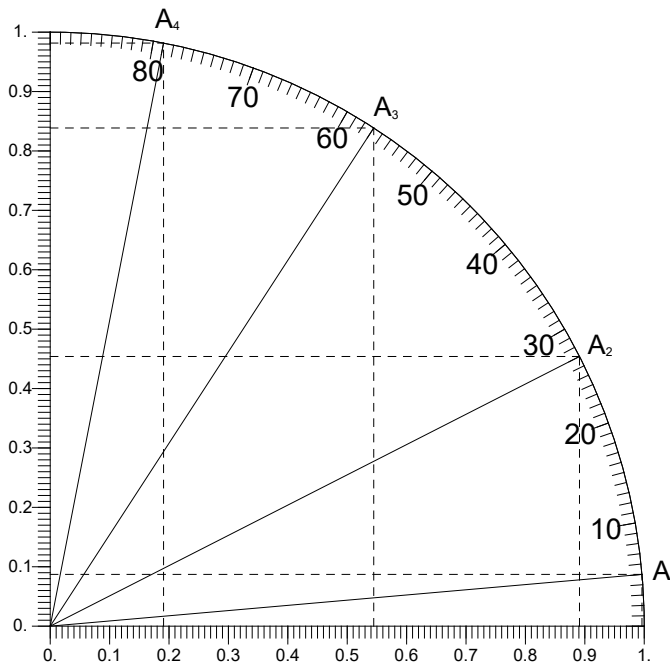
kot	$ OB_i $	$ OC_i $

23.



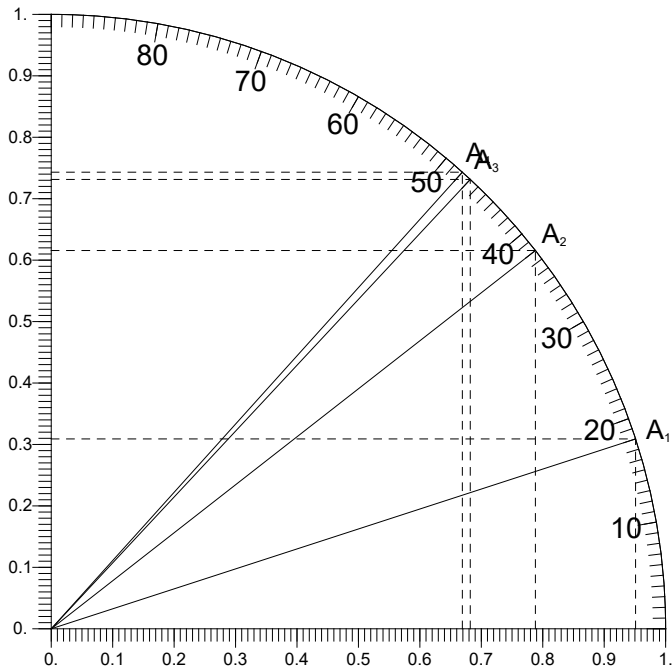
kot	$ OB_i $	$ OC_i $

24.



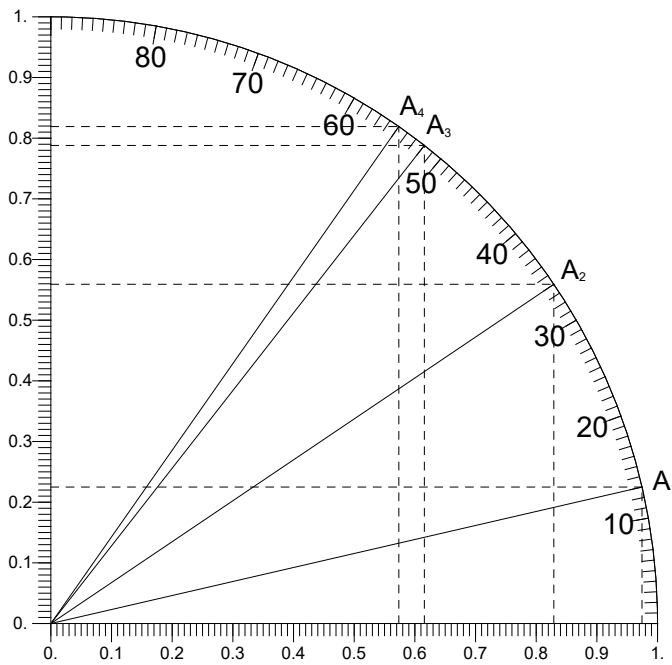
kot	$ OB_i $	$ OC_i $

25.



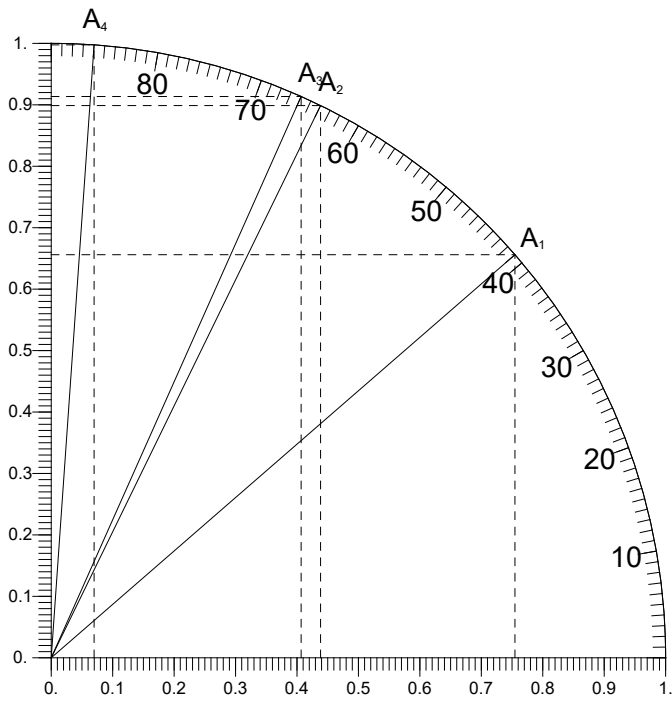
kot	$ OB_i $	$ OC_i $

26.



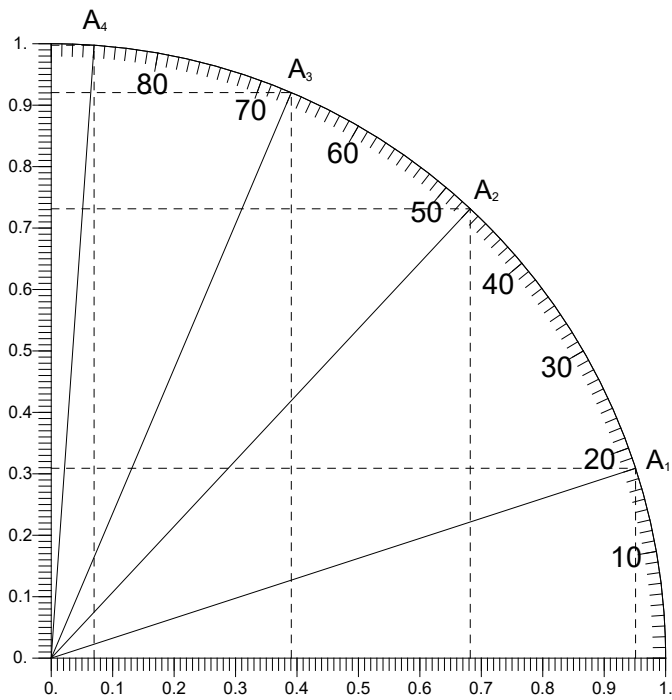
kot	$ OB_i $	$ OC_i $

27.



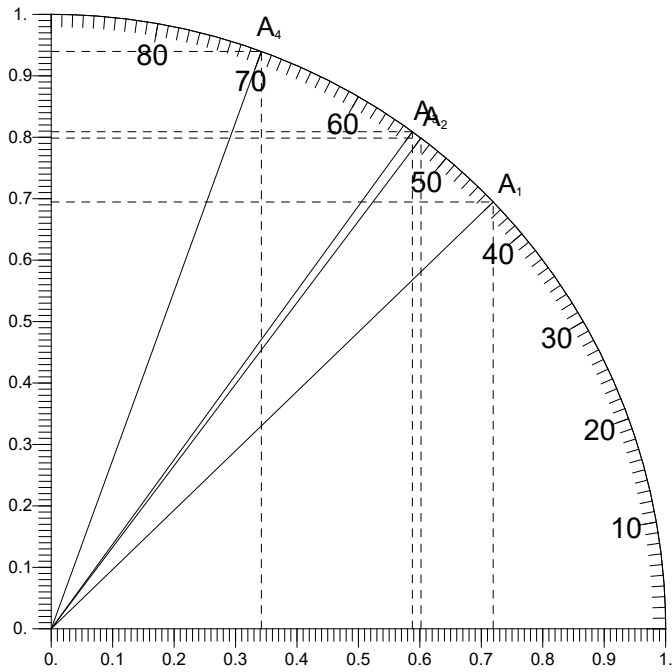
kot	$ OB_i $	$ OC_i $

28.



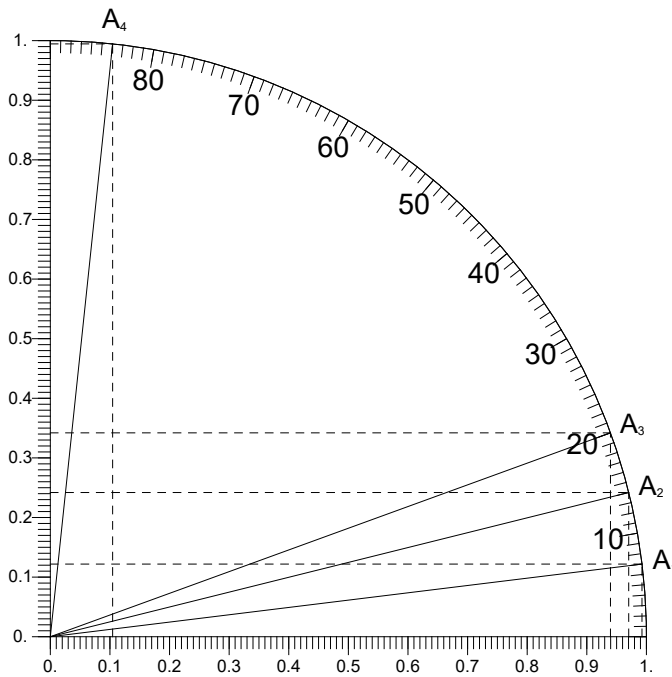
kot	$ OB_i $	$ OC_i $

29.



kot	$ OB_i $	$ OC_i $

30.

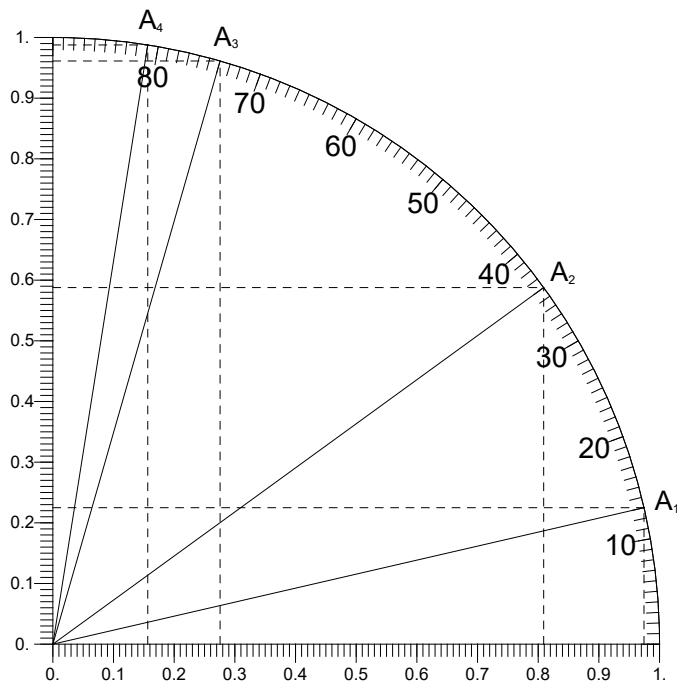


kot	$ OB_i $	$ OC_i $

Rešitve:

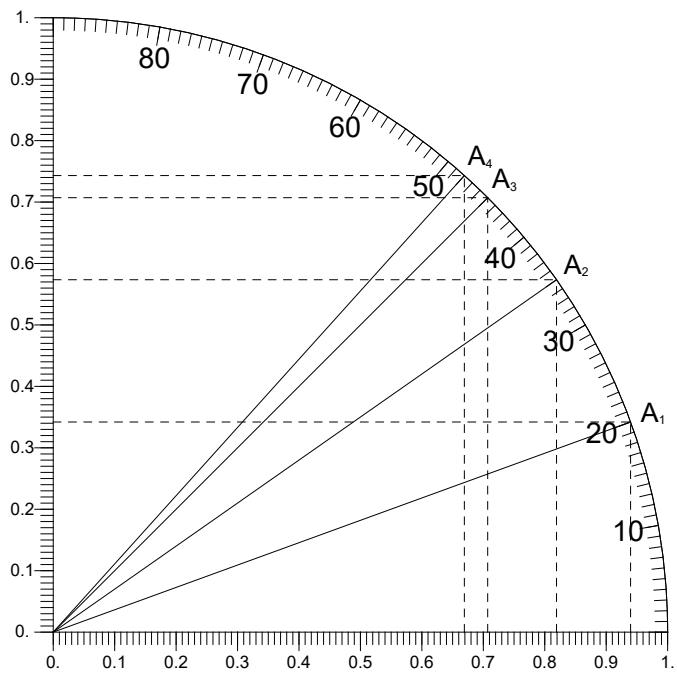


1.



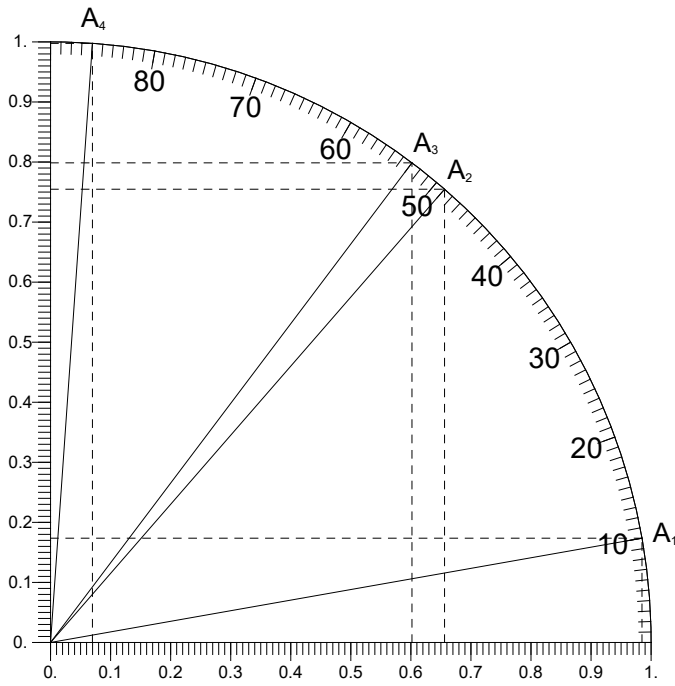
kot	$ OB_i $	$ OC_i $
$13^\circ$	0.97	0.22
$36^\circ$	0.81	0.59
$74^\circ$	0.28	0.96
$81^\circ$	0.16	0.99

2.



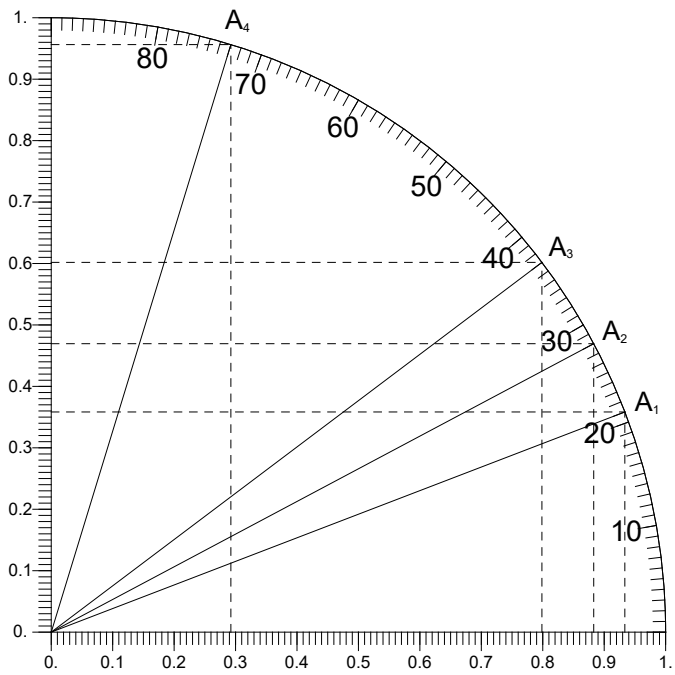
kot	$ OB_i $	$ OC_i $
$20^\circ$	0.94	0.34
$35^\circ$	0.82	0.57
$45^\circ$	0.71	0.71
$48^\circ$	0.67	0.74

3.



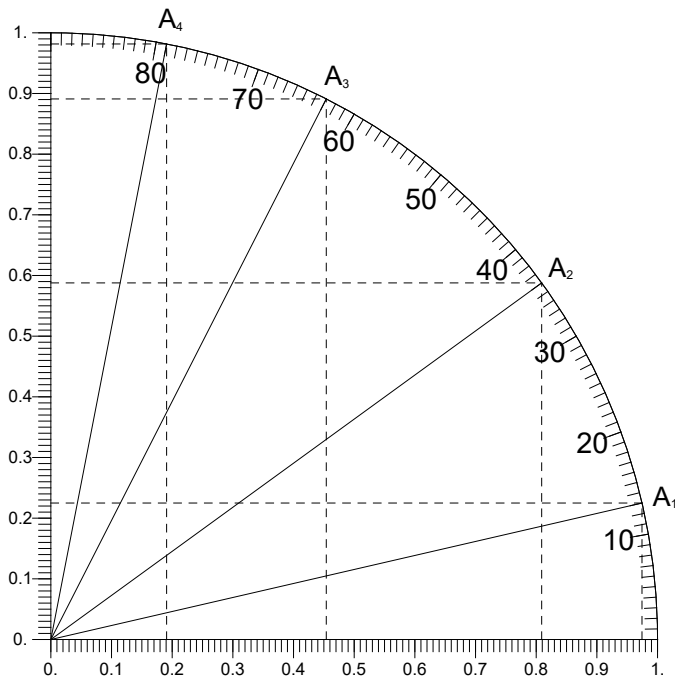
kot	$ OB_i $	$ OC_i $
10°	0.98	0.17
49°	0.66	0.75
53°	0.6	0.8
86°	0.07	1.

4.



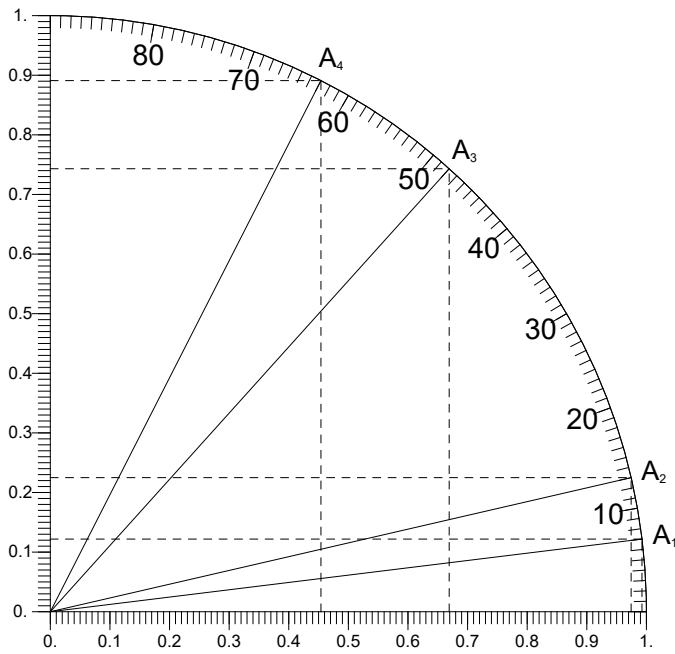
kot	$ OB_i $	$ OC_i $
21°	0.93	0.36
28°	0.88	0.47
37°	0.8	0.6
73°	0.29	0.96

5.



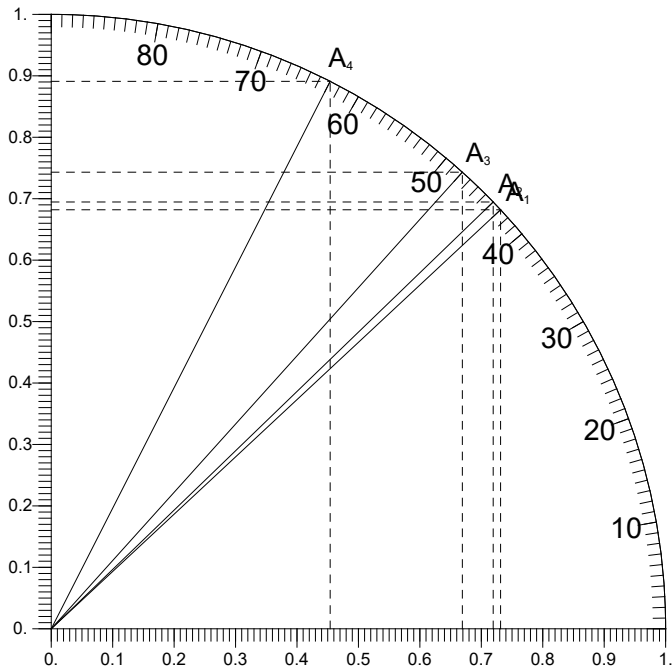
kot	$ OB_i $	$ OC_i $
13°	0.97	0.22
36°	0.81	0.59
63°	0.45	0.89
79°	0.19	0.98

6.



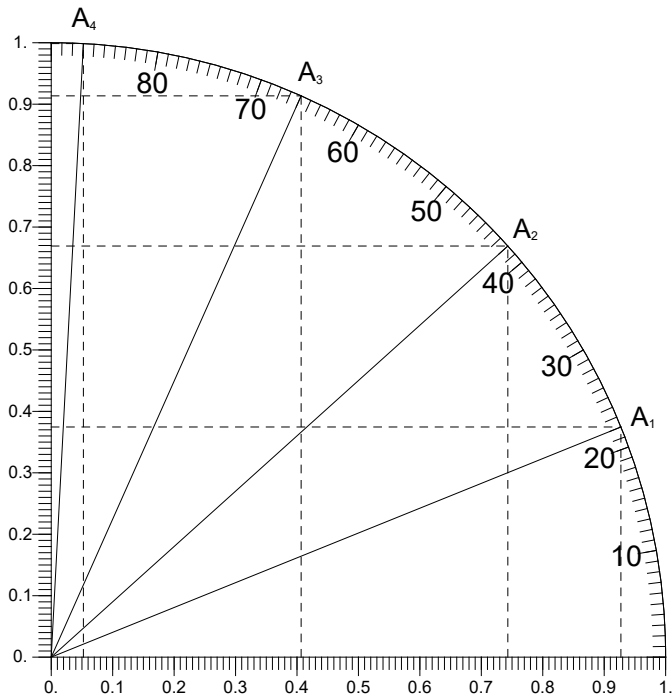
kot	$ OB_i $	$ OC_i $
7°	0.99	0.12
13°	0.97	0.22
48°	0.67	0.74
63°	0.45	0.89

7.



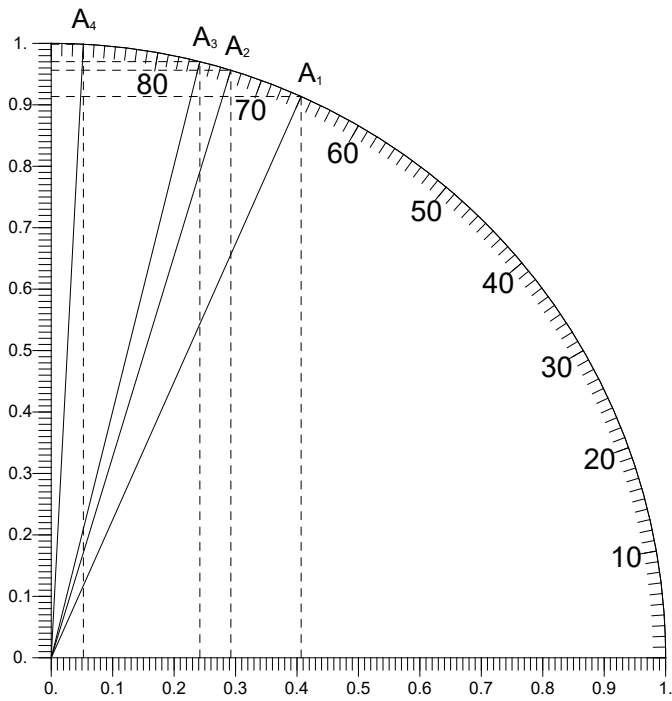
kot	$ OB_i $	$ OC_i $
43°	0.73	0.68
44°	0.72	0.69
48°	0.67	0.74
63°	0.45	0.89

8.



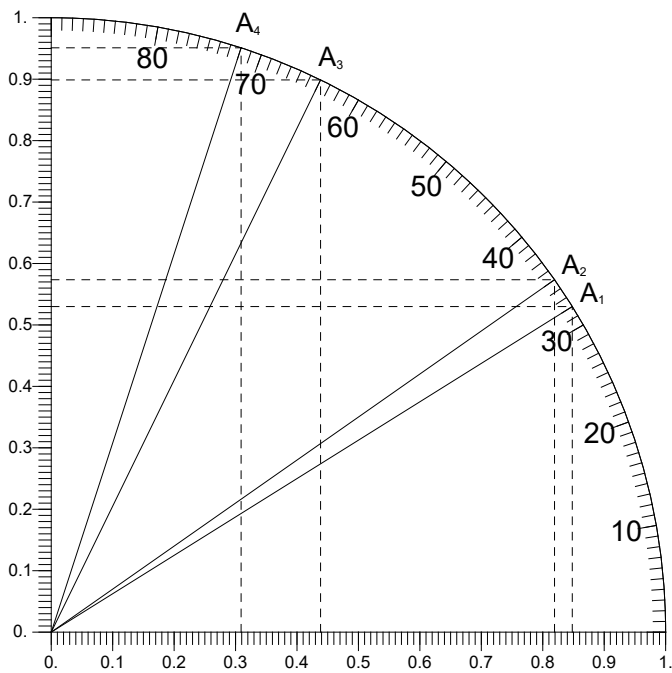
kot	$ OB_i $	$ OC_i $
22°	0.93	0.37
42°	0.74	0.67
66°	0.41	0.91
87°	0.05	1.

9.



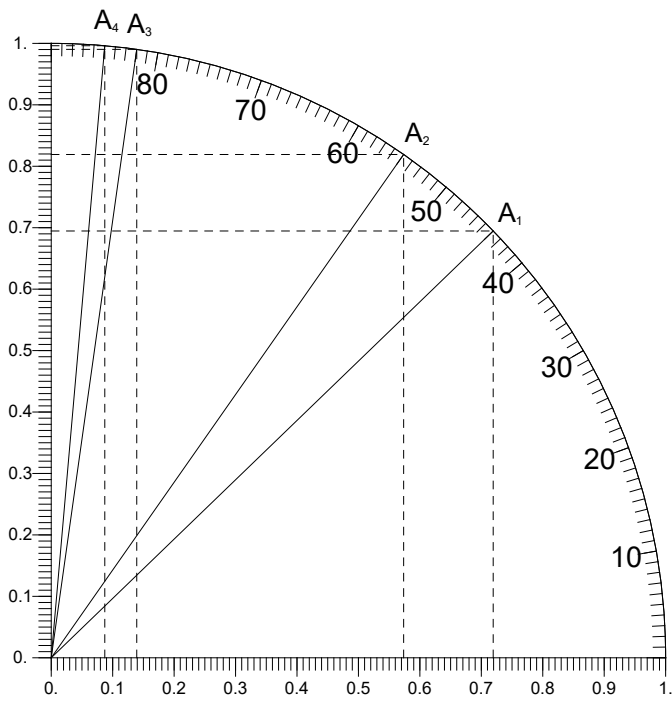
kot	$ OB_i $	$ OC_i $
$66^\circ$	0.41	0.91
$73^\circ$	0.29	0.96
$76^\circ$	0.24	0.97
$87^\circ$	0.05	1.

10.



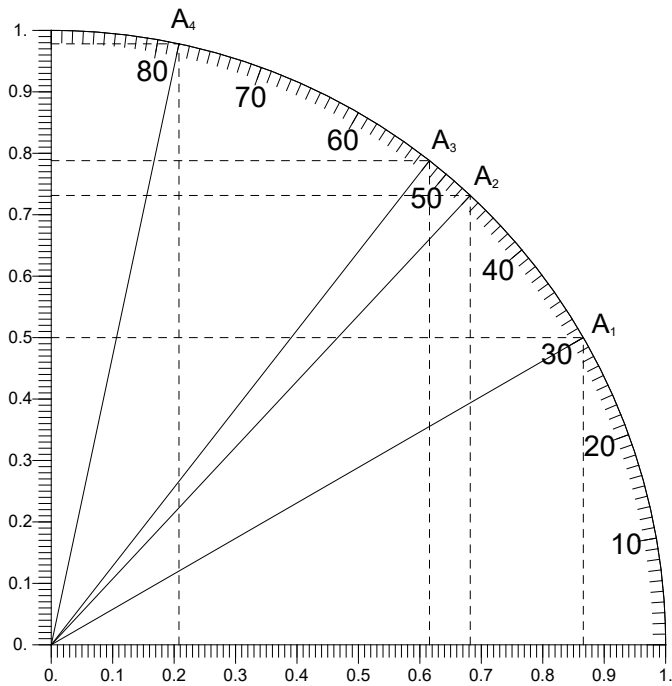
kot	$ OB_i $	$ OC_i $
$32^\circ$	0.85	0.53
$35^\circ$	0.82	0.57
$64^\circ$	0.44	0.9
$72^\circ$	0.31	0.95

11.



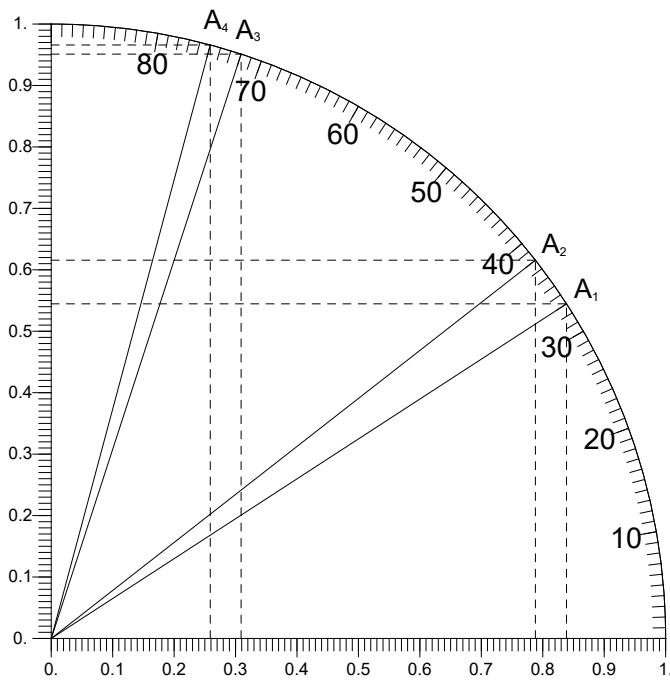
kot	$ OB_i $	$ OC_i $
44°	0.72	0.69
55°	0.57	0.82
82°	0.14	0.99
85°	0.09	1.

12.



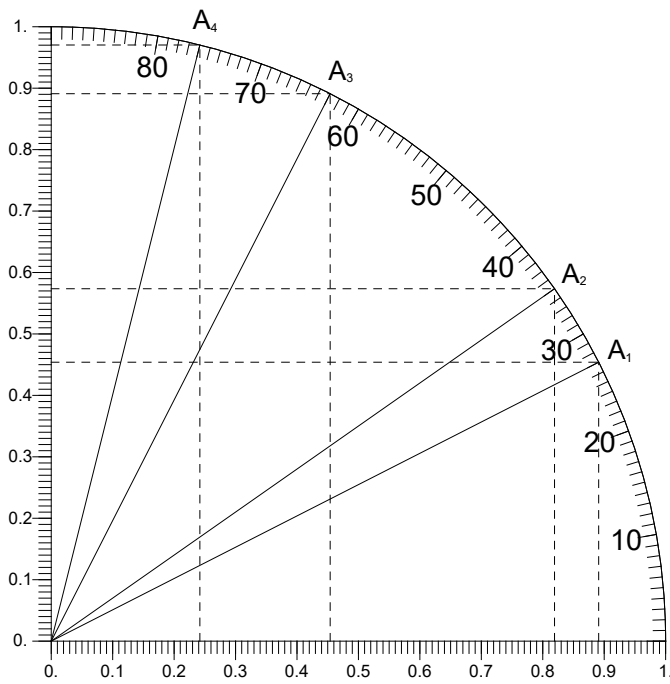
kot	$ OB_i $	$ OC_i $
30°	0.87	0.5
47°	0.68	0.73
52°	0.62	0.79
78°	0.21	0.98

13.



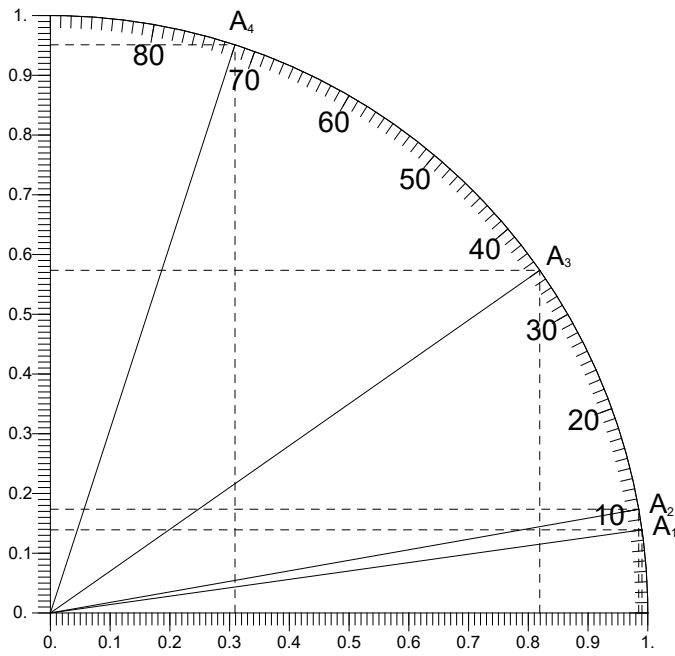
kot	$ OB_i $	$ OC_i $
33°	0.84	0.54
38°	0.79	0.62
72°	0.31	0.95
75°	0.26	0.97

14.



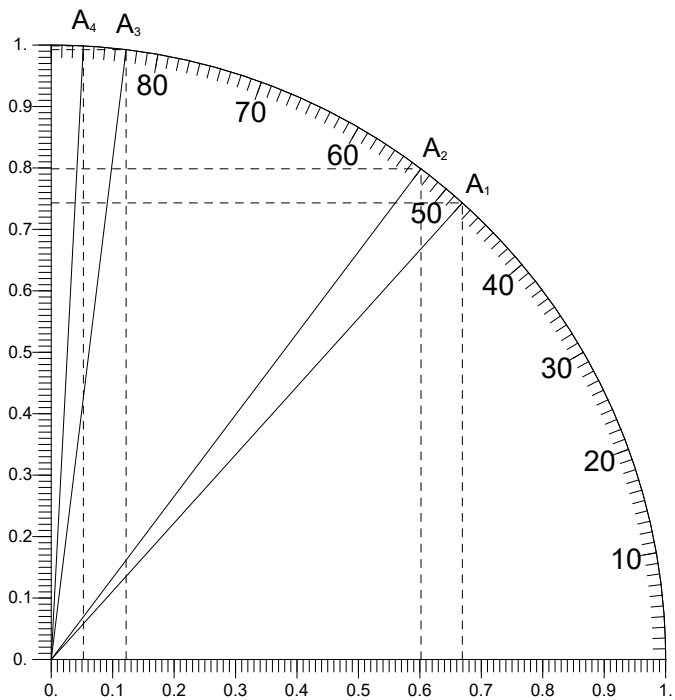
kot	$ OB_i $	$ OC_i $
27°	0.89	0.45
35°	0.82	0.57
63°	0.45	0.89
76°	0.24	0.97

15.



kot	$ OB_i $	$ OC_i $
8°	0.99	0.14
10°	0.98	0.17
35°	0.82	0.57
72°	0.31	0.95

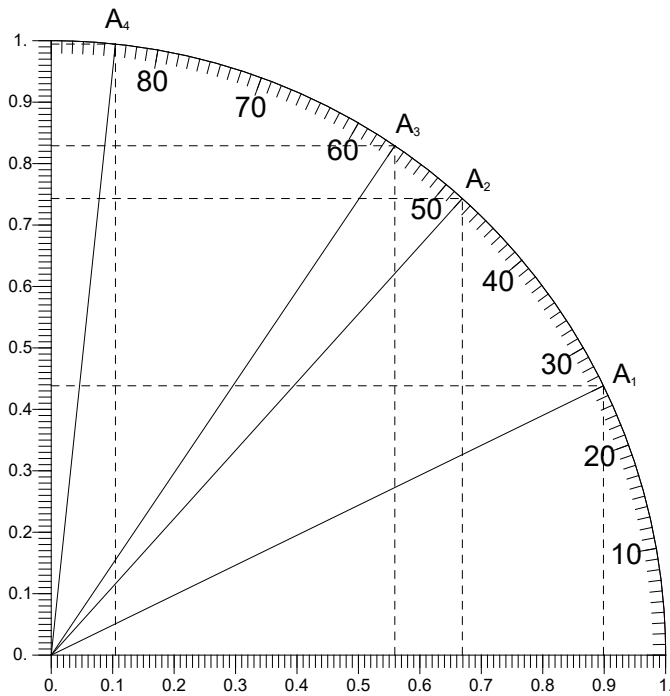
16.



kot	$ OB_i $	$ OC_i $
48°	0.67	0.74
53°	0.6	0.8
83°	0.12	0.99
87°	0.05	1.

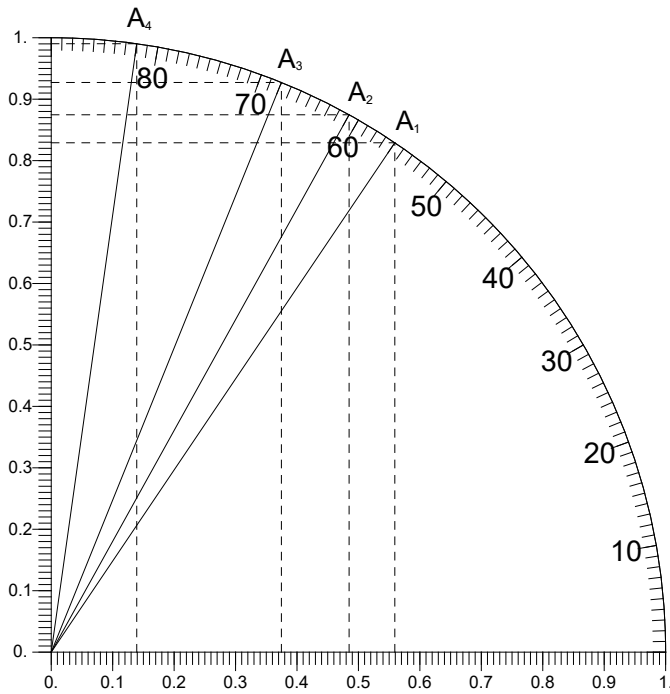


17.



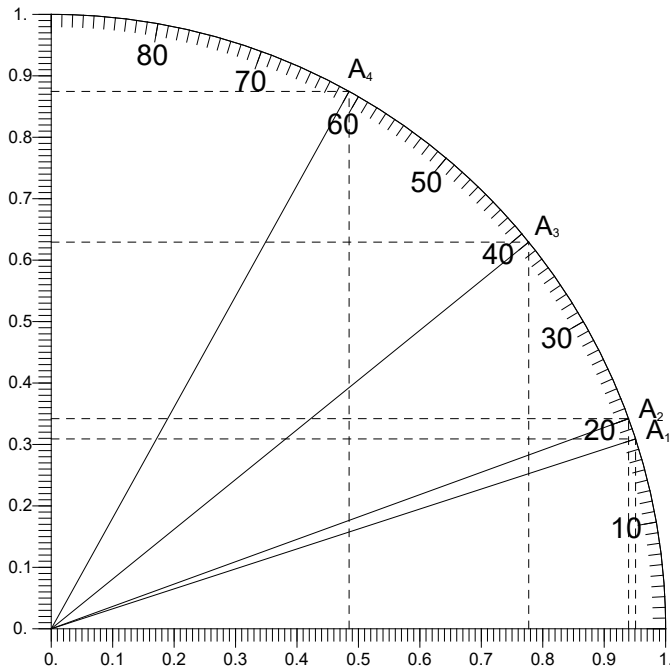
kot	$ OB_i $	$ OC_i $
$26^\circ$	0.9	0.44
$48^\circ$	0.67	0.74
$56^\circ$	0.56	0.83
$84^\circ$	0.1	0.99

18.



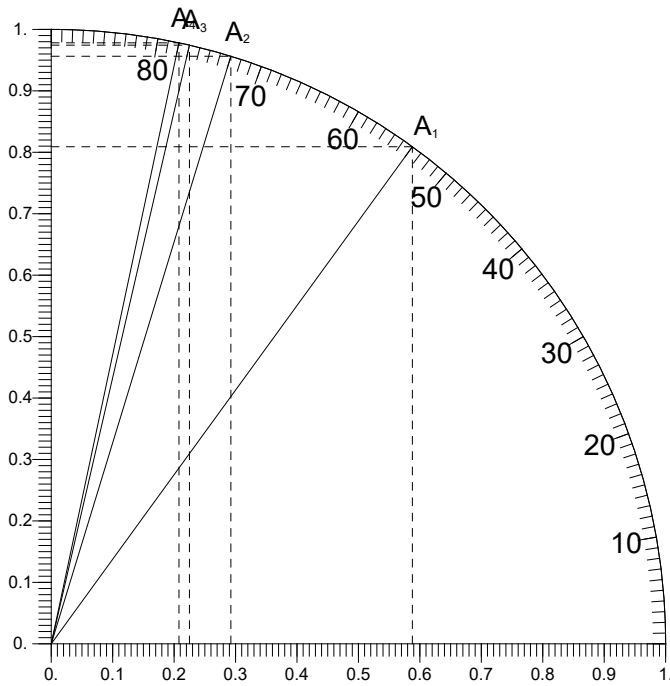
kot	$ OB_i $	$ OC_i $
$56^\circ$	0.56	0.83
$61^\circ$	0.48	0.87
$68^\circ$	0.37	0.93
$82^\circ$	0.14	0.99

19.



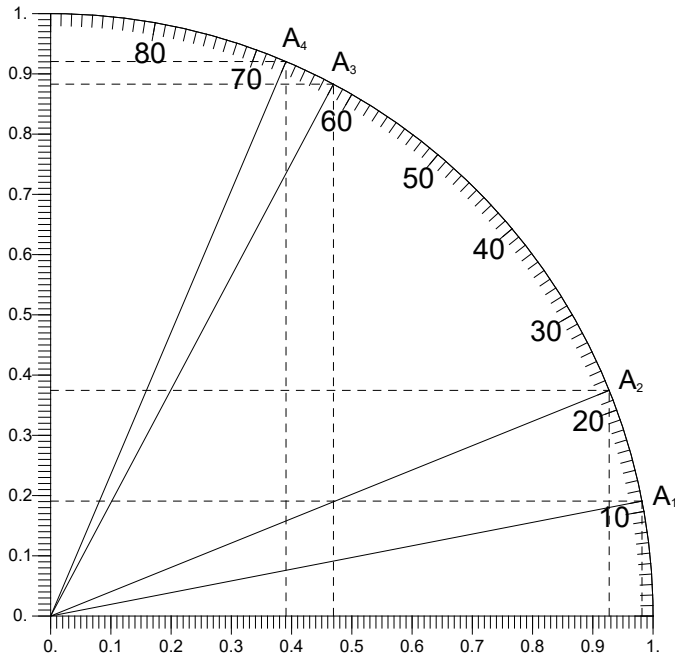
kot	$ OB_i $	$ OC_i $
18°	0.95	0.31
20°	0.94	0.34
39°	0.78	0.63
61°	0.48	0.87

20.



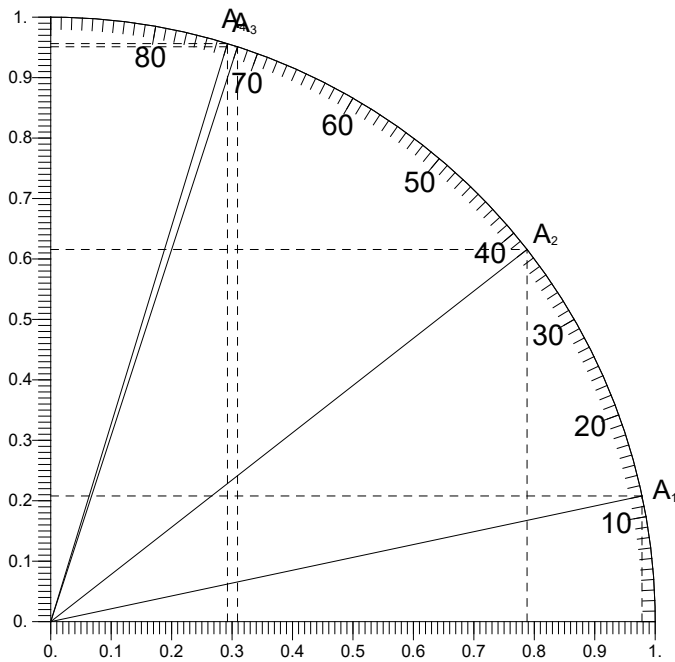
kot	$ OB_i $	$ OC_i $
54°	0.59	0.81
73°	0.29	0.96
77°	0.22	0.97
78°	0.21	0.98

21.



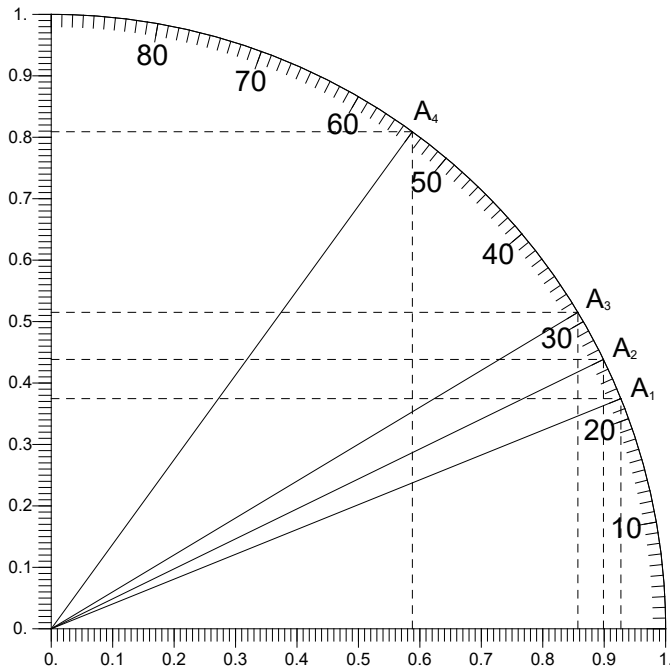
kot	$ OB_i $	$ OC_i $
11°	0.98	0.19
22°	0.93	0.37
62°	0.47	0.88
67°	0.39	0.92

22.



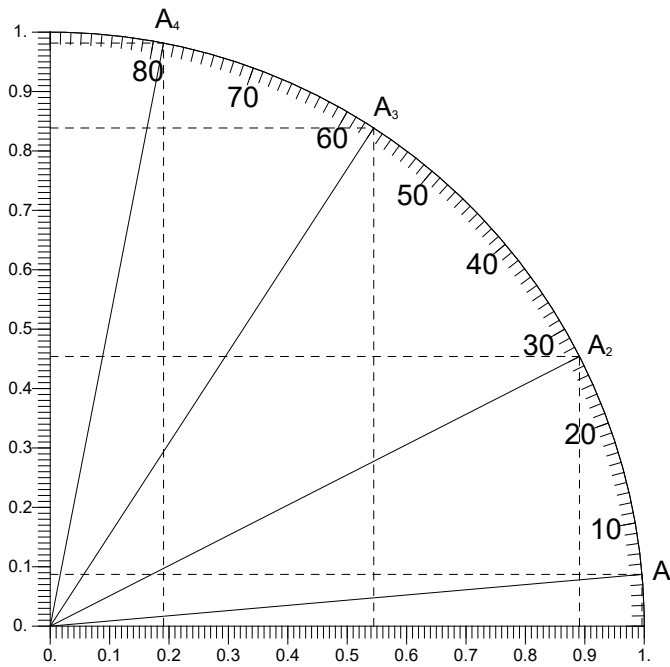
kot	$ OB_i $	$ OC_i $
12°	0.98	0.21
38°	0.79	0.62
72°	0.31	0.95
73°	0.29	0.96

23.



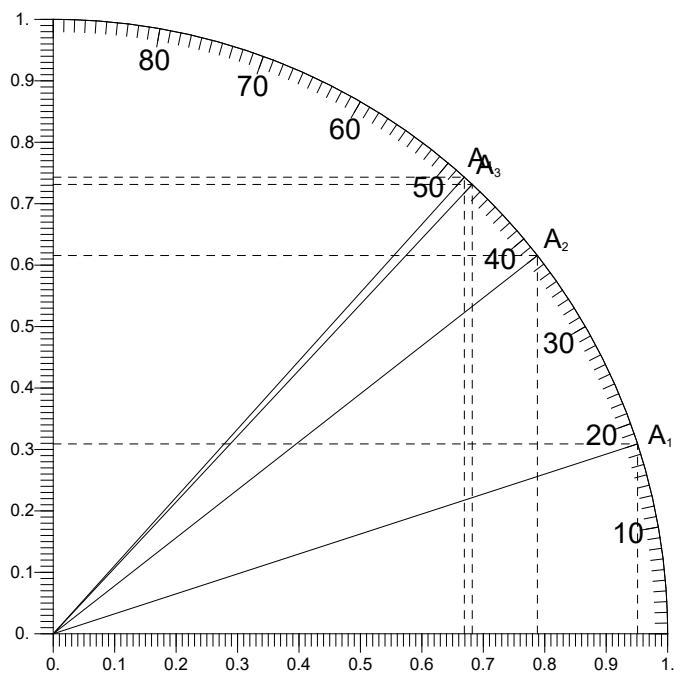
kot	$ OB_i $	$ OC_i $
22°	0.93	0.37
26°	0.9	0.44
31°	0.86	0.52
54°	0.59	0.81

24.



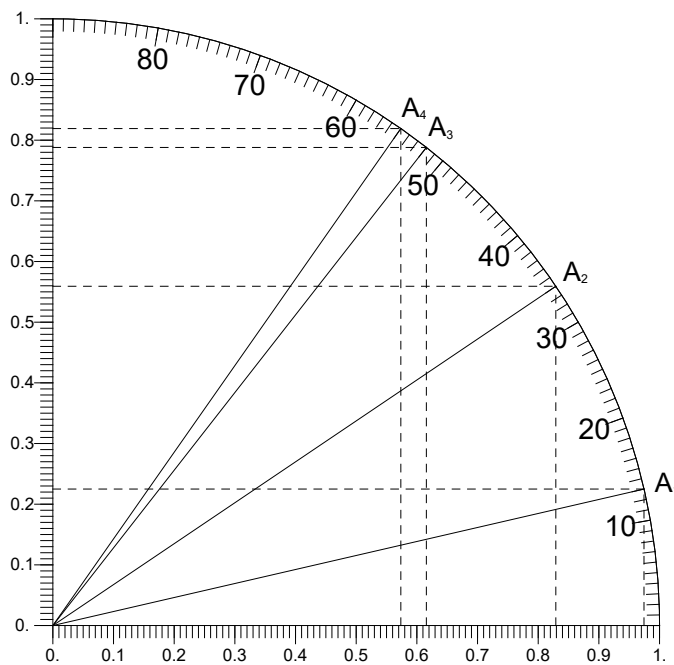
kot	$ OB_i $	$ OC_i $
5°	1.	0.09
27°	0.89	0.45
57°	0.54	0.84
79°	0.19	0.98

25.



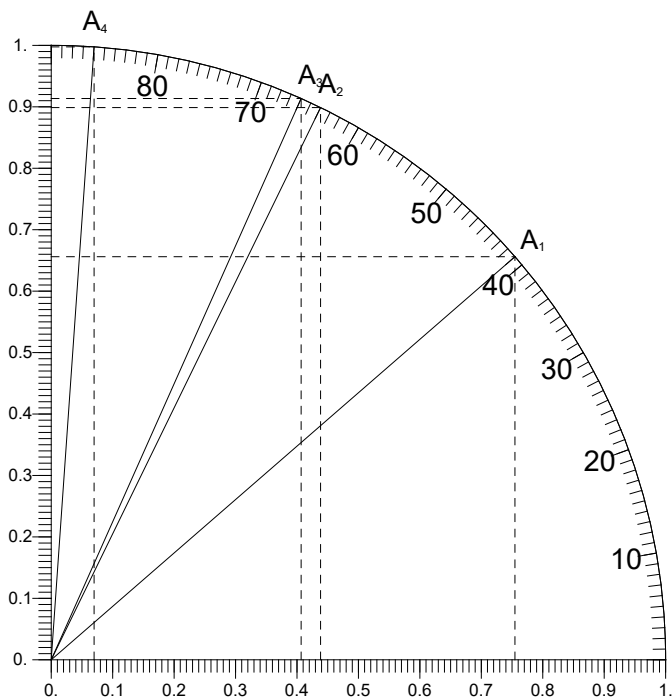
kot	$ OB_i $	$ OC_i $
$18^\circ$	0.95	0.31
$38^\circ$	0.79	0.62
$47^\circ$	0.68	0.73
$48^\circ$	0.67	0.74

26.



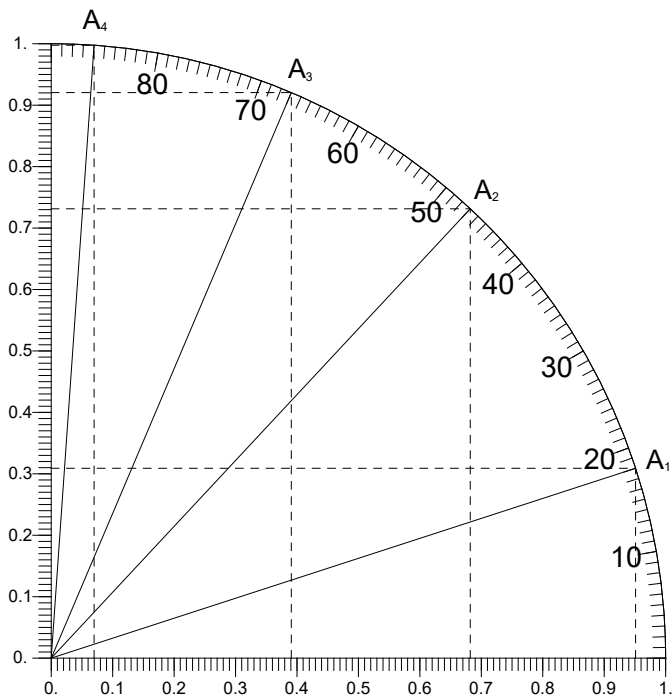
kot	$ OB_i $	$ OC_i $
$13^\circ$	0.97	0.22
$34^\circ$	0.83	0.56
$52^\circ$	0.62	0.79
$55^\circ$	0.57	0.82

27.



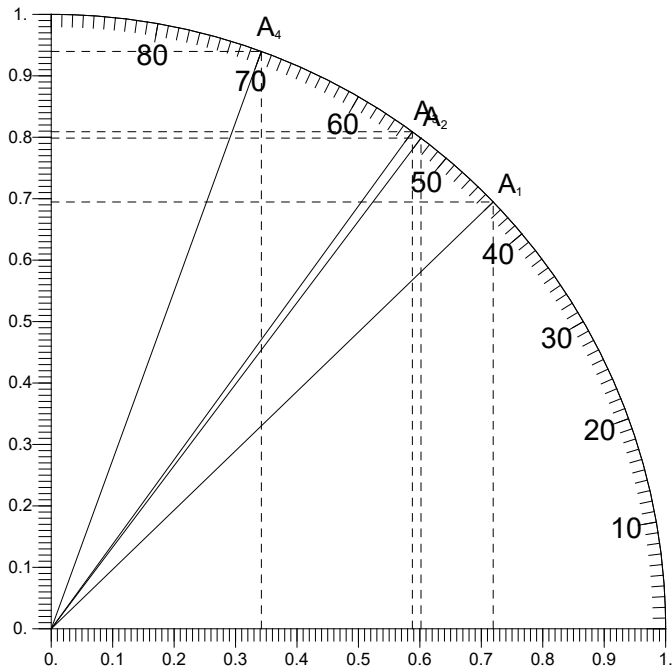
kot	$ OB_i $	$ OC_i $
41°	0.75	0.66
64°	0.44	0.9
66°	0.41	0.91
86°	0.07	1.

28.



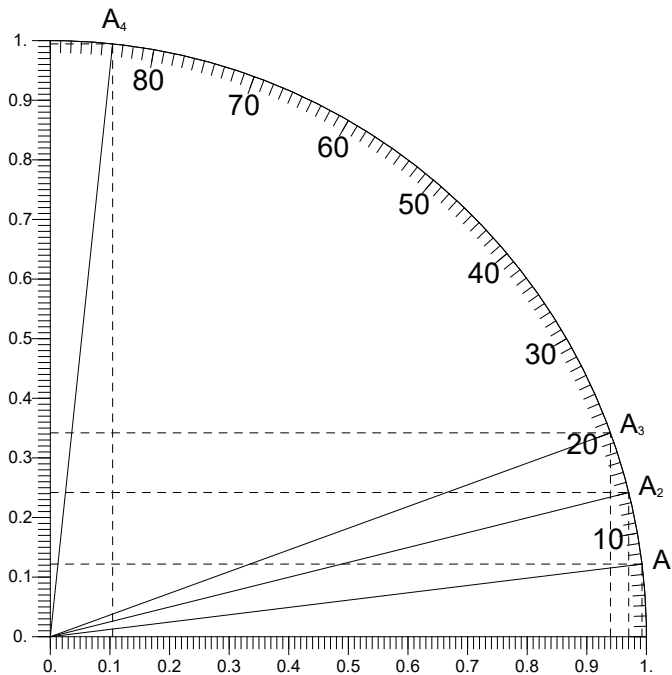
kot	$ OB_i $	$ OC_i $
18°	0.95	0.31
47°	0.68	0.73
67°	0.39	0.92
86°	0.07	1.

29.



kot	$ OB_i $	$ OC_i $
$44^\circ$	0.72	0.69
$53^\circ$	0.6	0.8
$54^\circ$	0.59	0.81
$70^\circ$	0.34	0.94

30.



kot	$ OB_i $	$ OC_i $
$7^\circ$	0.99	0.12
$14^\circ$	0.97	0.24
$20^\circ$	0.94	0.34
$84^\circ$	0.1	0.99